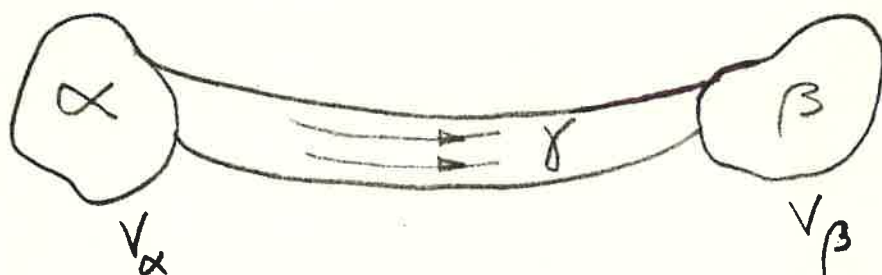


### III — CORRENTE ELECTRICA

#### III. 1 — Introdução

Tratamos até aqui das interações entre cargas em repouso. Vamos agora ocupar-nos dos efeitos produzidos pelas cargas eléctricas em movimento. Ao passar assim da Electrostática para um domínio mais geral do Electromagnetismo, o primeiro novo conceito que se nos impõe abordar é o de corrente eléctrica.

Suponhamos que dois condutores  $\alpha$  e  $\beta$ , a potenciais diferentes  $V_\alpha$  e  $V_\beta$ , em equilíbrio electrostático, são postos em contacto por intermédios de um terceiro condutor  $\gamma$ . No momento em que se estabelece uma tal ligação, o potencial não é, de certeza, constante, nos diferentes pontos deste último condutor,  $\gamma$ , visto que temos



os valores  $V_\alpha$  e  $V_\beta$  nos seus extremos ( $V_\alpha \neq V_\beta$ ). Surge, portanto um campo eléctrico dentro do condutor  $\gamma$ ; isso significa que deixam de se satisfazer as condições de equilíbrio electrostático, o qual se rompe. A experiência mostra que estes condutores são então atravessados por fluxos de cargas eléctricas (fluxos organizados, à escala macroscópica). Descrevemos este fenómeno dizendo que os condutores, especialmente o condutor  $\gamma$ , são percorridos por

corrente eléctrica. A tendência que se verifica é o estabeleci-  
mento de novo equilíbrio electrostático, atingido o qual  
a corrente eléctrica cessa. Por meios puramente electrostáticos  
difícilmente se consegue obter uma corrente largamente perma-  
nente e não pode realizar-se um regime permanente;  
outros dispositivos experimentais o permitem porém: pil-  
has voltaicas, acumuladores, pares termo-eléctricos, por  
exemplo. Em todos os casos a corrente surge num con-  
dutor sempre que entre dois dos seus pontos se estabelece  
uma diferença de potencial do tipo figurado.

A corrente eléctrica está assim associada ao apa-  
recimento de um campo eléctrico no seio dos condutores  
— campo electromotor — e produz dois efeitos observáveis  
experimentalmente;

1º) gera, à sua volta, um campo de acções ma-  
gnéticas (detectáveis sobre pequenos ímãs);

2º) acompanha-se de uma libertação de calor em  
cada elemento de volume do condutor.

Ao campo eléctrico, em geral variável, que origi-  
na a corrente sobrepõe-se, assim, um campo magné-  
tico, também em geral variável, e estes dois campos são  
profundamente indissociáveis: estamos em presença de  
um campo electromagnético. É, somente, no caso em que  
estes dois campos não variam com o tempo, que eles po-  
dem ser tratados independentemente porque, nesse caso,  
de facto, coexistem sem se interferir mutuamente. O cam-  
po electromagnético diz-se então estacionário, e a corren-  
te eléctrica a que está associada diz-se corrente estacioná-  
ria. Dada a independência de tratamento então realiza-  
vel, pode falar-se de um campo eléctrico da corrente esta-  
cionária e de um campo magnético da corrente estacionária.

A libertação de calor, que acompanha a passa-  
gem da corrente num condutor, revela a existência de trocas

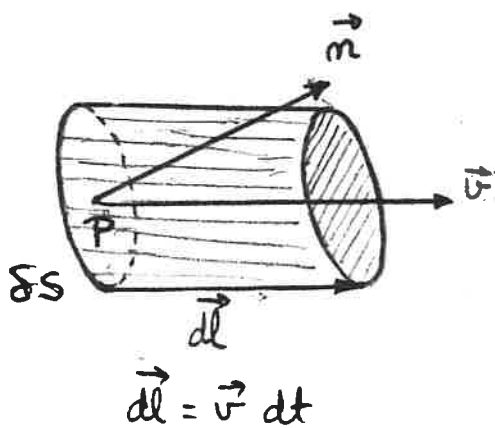
dissipativos de energia entre os diferentes elementos constituintes do sistema, que engloba, além do dito condutor, as fontes do campo electromotor da corrente. Continuamente ao que se passa no domínio da Electrostatica, aqui, o campo não é conservativo, o que permite, de já, avançar que a equação  $\text{rot } \vec{E} = 0$ , propriedade fundamental do campo electrostatico, não subsiste, de um modo geral, no campo electromagnético.

### III.2 Densidade de corrente

Consideremos um condutor no qual se acha estabelecida uma corrente eléctrica variável.

Para descrever, de um ponto macroscópico, esta corrente num ponto  $P(x, y, z)$  do interior do condutor e num instante  $t$ , fazemos apelo à densidade volumétrica da carga eléctrica que se move,  $\rho_m(x, y, z, t)$  e à velocidade  $\vec{v}(x, y, z, t)$  de que se acha animada a carga elementar  $\rho_m dv$ , que, nesse instante, passa no elemento de volume  $dv$  circunvizinho ao ponto  $P$ .

Seja  $\delta S$  um elemento de área em torno do ponto  $P$  e seja  $\vec{n}$  a semi-normal a  $\delta S$  em um dado sentido. Calculemos a quantidade de electricidade,  $\delta e$ , que passa, no tempo  $dt$ , através de  $\delta S$ , no sentido de  $\vec{n}$ : esta carga distribue-se pelo elemento de volume, representado na figura,



$$\delta \Omega = \delta S (\vec{dl} \cdot \vec{n}) = \delta S (\vec{v} \cdot \vec{n}) dt$$

do cilindro elementar de base  $\delta S$  e altura  $\vec{dl}$  (portanto de altura  $\vec{dl} \cdot \vec{n} = (\vec{v} \cdot \vec{n}) dt$ ).

Então temos:  $\delta e = \rho_m \delta \Omega = \rho_m \delta S \vec{v} \cdot \vec{n} dt$ .

Chamamos intensidade elementar da corrente (através do elemento de área  $\delta S$ , com a orientação  $\vec{n}$ ) a quantidade  $\delta i$  dada por:

$$\delta i = \frac{\delta q}{dt} = \rho_m \vec{v} \cdot \vec{n} \delta S$$

Isto significa que o fluxo elementar do vector  $\vec{J}$  definido por:

$$(III-1) \quad \vec{J} = \rho_m \vec{v}$$

é a intensidade elementar da corrente através de um qualquer elemento de área  $\delta S$ , em torno do ponto  $P$  e no instante  $t$ , com uma qualquer orientação  $\vec{n}$ :

$$(III-2) \quad \delta i = \vec{J} \cdot \vec{n} \delta S$$

$\vec{J}$  chama-se densidade de corrente; trata-se de um vector definido em cada ponto e a cada instante,  $\vec{J}(x, y, z, t)$ . Caracteriza, de modo análogo e completo, a corrente eléctrica no condutor. As linhas de força do campo vectorial  $\vec{J}(x, y, z, t)$  num dado instante  $t$  chamam-se linhas de corrente.

Por integração da relação (III-2) obtemos a intensidade da corrente que passa num dado sentido através de uma área finita  $S$ :

$$(III-3) \quad i = \int_S \vec{J} \cdot \vec{n} \delta S$$

Se, em particular,  $S$  é uma superfície fechada e  $\vec{n}$  a semi-normal exterior,  $i$  será a quantidade de electricidade que sai, globalmente, por unidade de tempo, através de  $S$  (ou seja que sai do volume contido em  $S$ ).



### III-3 Equação de conservação da carga eléctrica

Se admitirmos, como princípio, a conservação da carga eléctrica, deve existir uma relação bem precisa entre a corrente e a forma como varia, com o tempo, a distribuição das cargas eléctricas, de densidade volumétrica total  $\rho(x, y, z, t)$ , no condutor.

Com efeito, um tal princípio exige que a quantidade de electricidade que sai de (ou que entra para) um dado volume fixo no condutor, no intervalo de tempo  $dt$ , seja exactamente igual à diminuição (ou ao aumento) que, nesse intervalo de tempo, se observa para a carga eléctrica contida no mesmo dado volume. Então, se for  $S$  uma superfície fechada em torno de um ponto  $P$  no interior do condutor, vem por (III-3) e pelas considerações que acabamos de fazer

$$\int_S \vec{J} \cdot \vec{n} \delta S = - \frac{d}{dt} \int_V \rho \delta v$$

em que  $v$  é o volume limitado pela superfície  $S$ . O integral do 1.º membro transforma-se pelo teorema do fluxo-divergência; no 2.º membro são permutáveis os símbolos de cálculo  $\frac{d}{dt}$  e  $\int_V$  que dizem respeito a variáveis independentes, entre si. Resulta assim:

$$\int_V \text{div } \vec{J} \delta v = - \int_V \frac{\partial \rho}{\partial t} \delta v$$

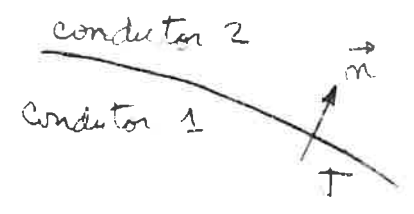
e como esta relação deve verificar-se para todo o volume  $v$  por menor que seja, temos:

$$(III-4) \quad \text{div } \vec{J} + \frac{\partial \rho}{\partial t} = 0$$

equações, de carácter local, que traduz a conservação da carga eléctrica. Trata-se de uma equação fundamental em toda a teoria do Electromagnetismo.

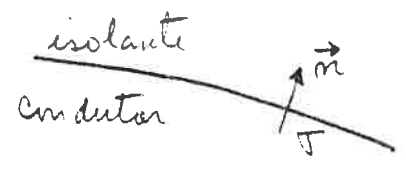
Prova-se que a equação (III-4) degenera, para uma superfície de separação de dois meios condutores ① e ② — em que  $\rho$  e  $\vec{J}$  são descontínuas —, na seguinte equação

$$(III-5) \quad \vec{n} \cdot (\vec{J}_2 - \vec{J}_1) + \frac{\partial \sigma}{\partial t} = 0$$



em que  $\vec{n}$  é a semi-normal à superfície de descontinuidade de (dirigida de ① para ②), se admitirmos que sobre a superfície de separação existe uma densidade superficial  $\sigma(x, y, z, t)$ . Para um ponto da superfície limítrofe do condutor (separação condutor-isolante) tem-se em particular

$$(III-6) \quad \vec{n} \cdot \vec{J} = \frac{\partial \sigma}{\partial t}$$



sendo  $\vec{J}$  a densidade de corrente à superfície do condutor ( $\vec{J} = 0$  para o isolante).

### III.4 — Lei de Ohm

13/12/88  
11/11/90

Existe, forçosamente, uma relação bem definida entre o vector  $\vec{J}$ , caracterizando a corrente eléctrica, e o campo electromotor  $\vec{E}$  que lhe está associado. A experiência mostra que, em primeira aproximação, se tem uma relação de proporcionalidade directa

$$(III-7) \quad \vec{J} = \sigma^* \vec{E} \quad \sigma^* \text{ escalar } (> 0)$$

em que  $\sigma^*$ , independente de  $\vec{E}$ , é a condutividade eléctrica do condutor (depende das condições físicas do condutor).

A relação (III-7) traduz a lei de Ohm tal como é válida para os condutores isótropos. No caso dos condutores anisótropos  $\vec{J}$  não é proporcional a  $\vec{E}$ , mas existem relações lineares e homogêneas entre os componentes dos dois vectores;  $\nabla^*$  deve em consequência substituir-se por um tensor cujos componentes são ainda independentes de  $\vec{E}$ .

A lei de Ohm foi estabelecida experimentalmente quer para correntes estacionárias, quer para corrente variável. A comparação das fórmulas (III-1) e (III-7) diz-nos que o campo electromotor  $\vec{E}$  é proporcional à velocidade  $\vec{v}$  das cargas eléctricas, e não à sua aceleração. Para explicar este facto, só aparentemente paradoxal, devemos admitir que as cargas sob a acção dum campo electromotor  $\vec{E}$  adquirem, quase instantaneamente, em cada ponto, uma velocidade  $\vec{v}$  tal que o campo das forças resultantes, devidas ao meio, contrabalança exactamente  $\vec{E}$ , pelo que cessa a aceleração.

Vejamos como se pode descrever este processo de estabelecimento da corrente, em base num modelo muito simples para a estrutura microfísica dos condutores metálicos. Um condutor pode considerar-se como constituído por uma rede cristalina de iões positivos fixos, dentro da qual circulam os electrões livres (Cf. §8.1, pag. 75) num incessante movimento desordenado (caótico) de agitações térmica, essencialmente condicionada pelas colisões com os iões fixos. Na ausência de campo eléctrico exterior, em cada elemento de volume me meacóspico  $d\Omega$ , é nula a média (espacial) das velocidades dos electrões livres, e não se processa nenhum transporte efectivo de carga no condutor.

Sob a acção de um campo eléctrico exterior  $\vec{E}$ , a força eléctrica que se exerce sobre cada um dos

electrões livres, a mesma para todos, provoca - lhes um movimento de arrastamento, a que corresponde uma velocidade média, diferente de zero, na direcção do campo; mas este arrastamento dos electrões livres é contrariado por uma resistência (do tipo "força de atrito") que tem a sua origem nas colisões que sofrem com as iões positivas da rede cristalina. Graças, assim, um transporte efectivo de carga (negativa) no condutor, que é regido pelo balanço entre essas duas forças, força eléctrica devido ao campo e força de resistência. (\*)

Escrevamos, então, a equação do movimento para este transporte de carga, referido ao elemento de volume macrocópico  $d\Omega$  do condutor. O campo eléctrico actuará sobre a carga eléctrica móvel deste elemento de volume,  $P_m d\Omega$ , com uma força

$$d\vec{F}_{\text{elct.}} = P_m d\Omega \vec{E}$$

Admitindo que a força de atrito,  $d\vec{F}_{\text{resist.}}$ , actuará na direcção da velocidade  $\vec{v}$  de transporte da carga móvel, mas em sentido contrário, com um valor proporcional a  $|\vec{v}|$  e ao número de electrões livres presentes em  $d\Omega$  (por sua vez proporcional a  $d\Omega$ ), temos:

(\*)

Para uma interpretação da condução eléctrica nos metais do ponto de vista da teoria atómica da constituição da matéria, ver, por exemplo:

- R. PLONSEY & R. COLLIN

Principles of Electromagnetic Fields (1961)

Mc. Graw Hill, New York, pag. 165

- G. JOOS, Theoretical Physics, 2<sup>a</sup> edition (1951) pag. 444-5



$$d\vec{f}_{\text{resist.}} = -a \, dsz \, \vec{v} ;$$

portanto, se for  $\mu$  a massa específica das cargas móveis, a equação do movimento será:

$$\mu \, dsz \, \frac{d\vec{v}}{dt} = \rho_m \, dsz \, \vec{E} - a \, dsz \, \vec{v}$$

ou

$$\mu \frac{d\vec{v}}{dt} + a \vec{v} = \rho_m \vec{E} ,$$

donde, por integração:

$$\vec{v} = \frac{\rho_m \vec{E}}{a} + \vec{C} e^{-\frac{a}{\mu} t}$$

e como para  $t=0$ ,  $\vec{v}=0$

$$\vec{v} = \frac{\rho_m}{a} (1 - e^{-\frac{a}{\mu} t}) \vec{E}$$

Esta expressão mostra-nos que a velocidade de  $\vec{v}$  tende para um valor limite:

$$(III-8) \quad \vec{v} = \frac{\rho_m}{a} \vec{E}$$

que corresponde ao estabelecimento do equilíbrio entre as forças eléctricas  $d\vec{f}_{\text{elct.}}$  e as forças de resistência  $d\vec{f}_{\text{resist.}}$ :

$$d\vec{f}_{\text{elct.}} + d\vec{f}_{\text{resist.}} = 0 ;$$

$\vec{v}$  tende tanto mais rapidamente para esse valor limite, em que fica proporcional a  $\vec{E}$ , quanto maior for o coeficiente  $a/\mu$  que figura na exponencial. O decréscimo da exponencial é, na realidade, muito rápido, muito inferior ao tempo de qualquer medida, pelo que o valor

$$\frac{d\vec{v}}{dt} = \frac{a}{\mu} \vec{v} = \frac{\rho_m}{\mu} \vec{E}$$

$$\frac{d\vec{v}}{dt} = \left( \frac{\rho_m}{\mu} \vec{E} - \frac{a}{\mu} \vec{v} \right)$$

$$\frac{d\vec{v}_x}{dt} \left( e^{-\frac{a}{\mu} t} \right) = dt \left( 1 - \frac{a}{\mu} \right)$$

$$\frac{\rho_m}{\mu} \vec{E}_x - \frac{a}{\mu} \vec{v}_x$$

$$\ln \left( \frac{\rho_m}{\mu} \vec{E}_x - \frac{a}{\mu} \vec{v}_x \right) = -\frac{a}{\mu} t + \ln C$$

$$\ln \left( \frac{\rho_m}{\mu} \vec{E}_x - \frac{a}{\mu} \vec{v}_x \right) = -\frac{a}{\mu} t$$

$$\frac{\rho_m}{\mu} \vec{E}_x - \frac{a}{\mu} \vec{v}_x = C e^{-\frac{a}{\mu} t}$$

$$\frac{\rho_m}{\mu} \vec{E}_x - \frac{a}{\mu} \vec{v}_x = C e^{-\frac{a}{\mu} t}$$

de  $\vec{v}$ , dado pela fórmula (III-8) pode considerar-se como atingido quase instantaneamente. Cite-se, como exemplo, que, no caso do cobre,  $\mu/a$  vale  $2 \times 10^{-14}$  s.

### III. 5 - Lei de Joule

A lei de Joule rege a libertação de calor que é produzida pela passagem de corrente eléctrica. É uma lei experimental estabelecida, quer com corrente estacionária, quer com corrente variável. Pode enunciar-se assim:

A quantidade de calor  $\delta Q$  libertada no elemento de volume  $\delta v$ , circunvizinhos de um ponto P de um condutor homogêneo, a temperatura uniforme, durante o tempo  $dt$  é dada por

$$(III-9) \quad \delta Q = \frac{1}{\sigma^*} \vec{J}^2 \delta v dt$$

sendo  $\vec{J}$  a densidade de corrente e  $\sigma^*$  a condutividade no ponto P.

Pode também escrever-se quando se atende à lei de Ohm

$$(III-9') \quad \delta Q = (\vec{J} \cdot \vec{E}) \delta v dt = \sigma^* \vec{E}^2 \delta v dt$$

Deve notar-se que a hipótese atrás admitida de se interpretar a lei de Ohm, de que existe um campo de forças resistentes, no meio, equilibrando o campo electromotor, pode estender-se agora a uma interpretação consequente da lei de Joule. O calor libertado deve, nessa hipótese, resultar do trabalho (negativo) das forças resistentes, para o qual se tem:

$$\delta W = \vec{f}_{\text{resist.}} \cdot d\vec{l} = - \vec{f}_{\text{elect.}} \cdot \vec{v} dt = - \rho_m \delta v \vec{E} \cdot \vec{v} dt = - (\vec{J} \cdot \vec{E}) \delta v dt$$

num deslocamento elementar  $d\vec{l}$ , durante  $dt$ , com a velocidade  $\vec{v}$ , da carga móvel contida no elemento de volume  $\delta v$ . Ora, na realidade, verifica-se que  $\delta W = -\delta Q$ .

### III. 6 - Lei de dispersão dos cargas num condutor homogêneo e isotrópico.

Um meio condutor permeado por correntes eléctricas, pode, como todo o meio material, manifestar também propriedades dieléctricas e o estabelecimento do campo electromagnético  $\vec{E}$ , nesse condutor, pode, em consequência, originar, em cada ponto, uma polarização  $\vec{P}$ . Somos assim conduzidos a definir, como na Electrostática, um vector deslocamento eléctrico  $\vec{D}$  pela relação:

$$(III-10) \quad \vec{D} = \epsilon \vec{E}$$

sendo  $\epsilon$  a constante dieléctrica do meio material. Na Electrostática estabeleceu-se a equação fundamental

$$(III-11) \quad \text{div } \vec{D} = \rho$$

relacionando o deslocamento eléctrico  $\vec{D}$  em a densidade volumica de carga  $\rho$ . Mantém-se esta equação (III-11) no campo electromagnético variável? Vimos já que uma das equações fundamentais do campo electrostático, a saber  $\text{rot } \vec{E} = 0$ , não pode manter-se no campo electromagnético, de um modo geral, por razões apontadas. Em contrapartida, admite-se que a equação (III-11) subsiste efectivamente como relação válida, a cada instante, entre as grandezas  $\vec{D}(x, y, z, t)$  e  $\rho(x, y, z, t)$ , densidade volumica da carga total. A equação (III-11) é, em efeito, uma das equações fundamentais da teoria de Maxwell, que constituem, no seu conjunto, os princípios do Electromagnetismo.

A equação (III-11) subsiste, portanto, como um princípio.

A lei de dispersão das cargas elétricas num condutor homogêneo e isotrópico, que vamos agora estabelecer, resulta da equação (III-11), tidas em conta a definição (III-10), da equação da conservação de carga elétrica (III-4) e da lei de Ohm (III-7). Porque o condutor é homogêneo, podemos, facilmente, eliminar entre as quatro relações:

$$\begin{cases} \operatorname{div} \vec{D} = \rho & \vec{D} = \epsilon \vec{E} \\ \operatorname{div} \vec{J} = -\frac{\partial \rho}{\partial t} & \vec{J} = \sigma^* \vec{E} \end{cases}$$

$$\begin{cases} \operatorname{div} \epsilon \vec{E} = \rho \\ \operatorname{div} \sigma^* \vec{E} = -\frac{\partial \rho}{\partial t} \\ \frac{\rho}{\epsilon} = -\frac{1}{\sigma^*} \frac{\partial \rho}{\partial t} \end{cases}$$

as grandezas  $\vec{D}$ ,  $\vec{J}$  e  $\vec{E}$ . Isto conduz-nos à seguinte equação diferencial em  $\rho$  e  $t$ :

$$(III-12) \quad \frac{1}{\rho} \frac{\partial \rho}{\partial t} = -\frac{\sigma^*}{\epsilon}$$

que fornece, por integração:

$$(III-13) \quad \rho = \rho_0 e^{-\frac{\sigma^*}{\epsilon} t} = \rho_0 e^{-t/\theta}$$

sendo  $\rho_0 = \rho_0(x, y, z)$  a distribuição inicial no meio (condutor-isolante),

A densidade  $\rho$  em cada ponto decai exponencialmente para zero, no decorrer do tempo.

De um ponto de vista matemático, só para  $t = \infty$  é que  $\rho$  se torna nulo; mas, de um ponto de vista físico, dado o carácter exponencial do decaimento, podemos dizer que ao fim de um tempo, mais ou menos curto,  $\rho$  se torna tão pequeno que pode ficar abaixo da sensibilidade dos aparelhos de medi-

da, portanto praticamente nulo.

A rapidez deste decréscimo para zero é medida pela grandeza

$$(III-14) \quad \theta = \frac{\epsilon}{\sigma^*}$$

que tem o carácter físico de um tempo - e se chama tempo de relaxação - representando, efectivamente, o tempo ao fim do qual  $\rho$  se reduz a  $\frac{1}{e}$  ( $\approx 1/2,7$ ) do seu valor inicial. A tabela seguinte dá os tempos de relaxação para alguns materiais comuns

<u>Material</u>	<u>Tempo de relaxação <math>\theta</math></u>
Prata	$1,3 \times 10^{-19}$ s
Cobre	$1,5 \times 10^{-19}$ s
Água do mar	$2 \times 10^{-10}$ s
Água destilada	$10^5$ s
Quartzo fundido	10 dias

Podemos notar que os bons condutores têm um tempo de relaxação extremamente curto e que os isolantes têm um tempo de relaxação relativamente grande. De facto, é o tempo de relaxação que verdadeiramente permite definir se se deve considerar um determinado meio material como condutor ou como isolante. Se  $\theta$  é muito menor que a duração de uma medida, o material comporta-se como condutor; se  $\theta$  é muito maior que a duração de uma medida como isolante.

Notemos, por fim, que, se num condutor homogêneo não subsiste praticamente nenhuma quantidade de electricidade distribuída em volume ( $\rho$  tende muito rapidamente para zero), em contrapartida, podem subsistir distribuições superficiais sobre superfícies de descontinuidade tais como a superfície limítrofe do condutor ou a superfície de separação,



de dois condutores homogêneos. Sobre uma tal superfície (separando os meios ① e ②) a equação (III-11) degenera em:

$$(III-15) \quad \vec{n} \cdot (\vec{D}_2 - \vec{D}_1) = \sigma$$

e, por outro lado, a equação de conservação de carga elétrica (III-4) degenera em:

$$(III-16) \quad \vec{n} \cdot (\vec{J}_2 - \vec{J}_1) = - \frac{\partial \sigma}{\partial t}$$

sendo  $\vec{n}$  a semi-normal dirigida de ① para ② e  $\sigma$  a densidade superficial de carga elétrica. Estas equações (III-15) e (III-16), combinadas com a definição (III-10) e com a lei de Ohm (III-7), regem a distribuição  $\sigma$  e a sua evolução no tempo. Vê-se bem que não é agora possível extrair uma relação simples como (III-12), descrevendo a evolução no tempo de  $\sigma(x, y, z, t)$ . Enquanto a dispersão dos cargas distribuídas em volume,  $\rho(x, y, z, t)$ , se apresenta de uma forma independente do campo electromagnético estabelecido (ver (III-13)), o mesmo não se passa com as cargas distribuídas sobre as superfícies de descontinuidade dos meios materiais.

### III.7 - Campo estacionário

Vimos já que o campo electromagnético estacionário se caracteriza por não variar, no decurso do tempo, em cada ponto, os vectores campo eléctrico e campo magnético:

$$\frac{\partial \vec{E}}{\partial t} = 0 \quad , \quad \frac{\partial \vec{B}}{\partial t} = 0$$

Daqui resulta, necessariamente, que as distribuições de carga também não variam com o tempo:

$$\frac{\partial \rho}{\partial t} = 0 \quad ; \quad \frac{\partial \sigma}{\partial t} = 0$$

As equações de conservação de carga eléctrica (III-4),

(III-5) e (III-5) impõem, então, que para a corrente estacionária se tenha:

— em todo o ponto interior de um condutor

$$(III-18) \quad \text{div } \vec{J} = 0 \quad ;$$

— na superfície de separação de dois meios condutores

$$(III-19) \quad \vec{n} \cdot (\vec{J}_2 - \vec{J}_1) = 0 \quad ;$$

— e na superfície fronteira de um condutor com um isolante

$$(III-20) \quad \vec{n} \cdot \vec{J} = 0$$

A equação (III-18) diz-nos que o campo dos vectores  $\vec{J}$  é solenoidal, em corrente estacionária.

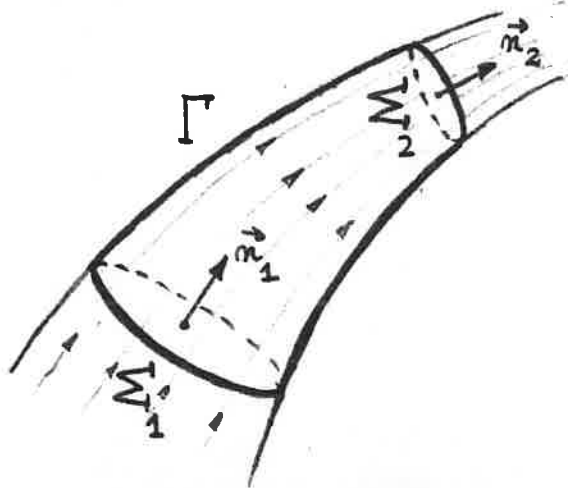
A relação (III-20) diz-nos que, na superfície limite de um condutor, percorrido por corrente estacionária,  $\vec{J}$  é permanentemente tangencial; a superfície limite constitui, portanto, um tubo de linhas de força de  $\vec{J}$ .

Ainda por efeito de (III-18), o fluxo de  $\vec{J}$  que sai de uma superfície fechada qualquer, é nulo. Vejamos o que daqui resulta no que respeita ao fluxo de  $\vec{J}$  através de uma qualquer secção do condutor.

Consideremos um troço de um qualquer tubo de linhas de força de  $\vec{J}$  no condutor, limitado pelas  $\Sigma_1$  e  $\Sigma_2$ , teremos:

$$(III-21)$$

$$\int_{\Sigma_1} \vec{J}_1 \cdot \vec{n}_1 d\Sigma_1 = \int_{\Sigma_2} \vec{J}_2 \cdot \vec{n}_2 d\Sigma_2$$



Como é imposto pelo facto de ser nulo o fluxo que sai da superfície  $(\Sigma_1 + \Sigma_2 + \Gamma)$ , em que  $\Gamma$  é o troço do tubo de linhas de força considerado e  $\vec{n}_1$  e  $\vec{n}_2$  são semi-

- normais em o sentido do movimento das cargas. Isto si-  
gnifica que:

$$i_{\Sigma} = \int_{\Sigma} \vec{J} \cdot \vec{n} \, d\Sigma$$

(recorde-se (III-3)) tem o mesmo valor para qualquer secção  $\Sigma$  de um tubo de linhas de forças, e, em particular, para qualquer secção do condutor, visto que a sua superfície lateral é um tubo de linhas de forças.

Diz-se que o fluxo do movimento das cargas eléctricas (ou o fluxo de  $\vec{J}$ ) em corrente estacionária é um fluxo conservativo.

### III.8 - Corrente estacionária em condutores homogêneos e isotrópicos

#### A. Propriedades do campo

A experiência mostra que no caso dos condutores homogêneos e isotrópicos, percorridos por correntes estacionárias, o campo eléctrico satisfaz ainda a equação:

$$(III-22) \quad \text{rot } \vec{E} = 0$$

o que equivale a afirmar que  $\vec{E}$  deriva de um potencial escalar  $V$ ,

$$(III-22') \quad \vec{E} = -\text{grad } V,$$

como na Electostática; mas, só em tais circunstâncias subsiste este carácter de campo electostático; a equação (III-22) deixa de ser válida se a corrente não é estacionária ou se o condutor não é homogêneo.

Se se aplica a lei de Ohm (III-7) pode-se escrever:

$$(III-23) \quad \vec{J} = -\sigma^* \text{grad } V$$

e também se tem:

$$(III-23') \quad \text{rot } \vec{J} = 0$$

em que  $\sigma^*$  tem o mesmo valor em todos os pontos do condutor.

Por outro lado, nas mesmas circunstâncias, por força de (III-48) e da lei de Ohm (III-7), resulta que:

div  $\vec{E} = 0$

$$(III-24) \quad \text{div } \vec{E} = 0 \quad (\text{ou } \text{lap } V = 0)$$

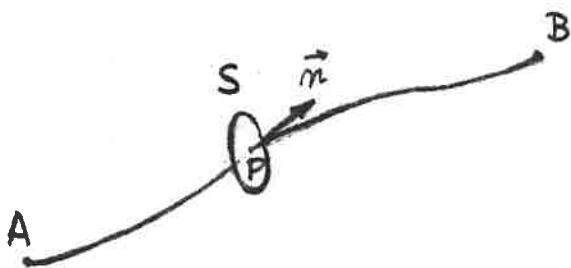
o que quer dizer que a equação fundamental (III-11), de validade geral, se cumpre aqui com  $\rho = 0$  (porque  $\sigma$  tem o mesmo valor em todos os pontos do condutor). Podemos então afirmar que nos condutores homogêneos e isotrópicos percorridos por corrente estacionária, é constantemente nula a densidade volumétrica de carga total (compare esta conclusão com a lei de dispersão tratada no parágrafo III.6). As cargas elétricas responsáveis pelo potencial  $V$  só podem, portanto, achar-se distribuídas sobre as superfícies limitadoras dos condutores (com densidade  $\sigma(x, y, z)$  independente do tempo.

14/12/8

## B. Formas integrais das leis de Ohm e de Joule

### 1) Condutores filiformes

Um condutor filiforme, com dimensões transversais muito pequenas em face da dimensão longitudinal, pode supor-se gerado por uma superfície plana muito pequena,  $S$ , que se desloca, produzindo em geral mudanças de contorno e de área, mas mantendo-se constantemente normal a uma linha  $[s]$  (ver figura). O condutor confunde-se praticamente com esta linha; designa-se por condutor filiforme (ou fio condutor). Sendo o condutor homogêneo e isotrópico, e sendo a corrente estacionária, a intensidade  $i$  (com o mesmo valor em qualquer secção recta) vem dada por:



$$(III-25) \quad i = -\sigma^* \int_S \vec{n} \cdot \text{grad } V \, dS$$

$$\vec{j} = -\sigma^* \text{grad } V$$

que resulta de (III-3) e (III-23), expressões da lei de Ohm nas circunstâncias presentes; mas, nas condições de condutores filiformes, a quantidade  $\vec{n} \cdot \text{grad } V$  não varia sensivelmente de um ponto para outro da superfície  $S$  e pode tomar-se sempre com o valor que tem em  $P$ , sobre a linha  $[s]$ ; por outro lado, tem-se  $\vec{n} = \frac{d\vec{s}}{ds}$ , se  $d\vec{s}$  for o elemento de linha  $[s]$  no ponto  $P$  e  $ds = |d\vec{s}|$ . Então, (III-25) dá:

$$(III-26) \quad i = -\frac{\sigma^* S}{ds} d\vec{s} \cdot \text{grad } V = -\frac{\sigma^* S}{ds} dV$$

A grandeza:

$$(III-27) \quad dr = \frac{ds}{\sigma^* S}$$

designa-se por resistência eléctrica do elemento  $ds$  do condutor filiforme; (III-26) reescreve-se então:

$$(III-26') \quad i \, dr = -dV$$

e exprime a lei de Ohm para o elemento  $ds$  do fio. Se integramos entre as extremidades  $A$  e  $B$  do fio, vem:

$$(III-28) \quad r i = V_A - V_B$$

em que:

$$(III-29) \quad r = \int_A^B dr = \int_A^B \frac{ds}{\sigma^* S} = \frac{1}{\sigma^*} \int_A^B \frac{ds}{S}$$

é a resistência eléctrica do fio condutor de comprimento finito  $\overline{AB}$ .

A equação (III-28) traduz a lei de Ohm na sua



forma original, directamente ligada à experiência.

No tocante à lei de Joule, a equação (III-9) transcreve-se facilmente para um elemento de fio condutor, se tomarmos  $\vec{J}^2 = \left(\frac{i}{S}\right)^2$  em base nas mesmas considerações acima feitas e se tivermos em conta que  $dv = S ds$ . Se designarmos por  $dQ$  a quantidade de calor libertada por unidade de tempo no elemento  $ds$ , vem:

$$(III-30) \quad dQ = i^2 ds$$

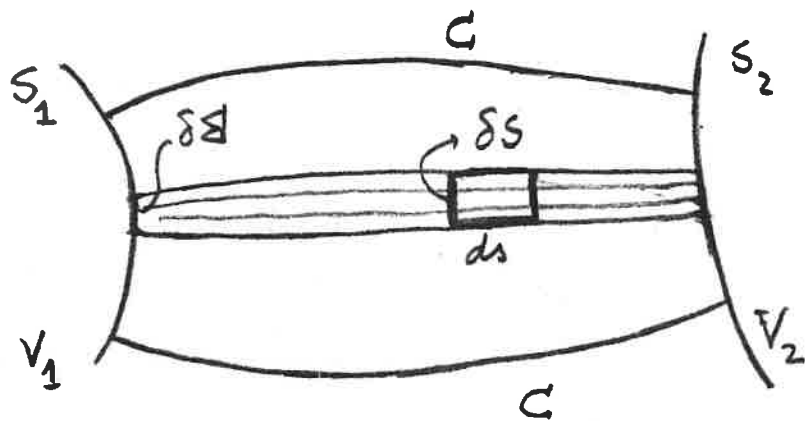
em  $ds$  dado por (III-27). A quantidade de calor libertada por unidade de tempo num fio condutor de comprimento finito  $\overline{AB}$  vem dada por

$$(III-31) \quad Q = R i^2$$

que é a lei de Joule sob a sua forma original. 121190

## 2) Condutor extenso entido entre dois eléctrodos

Consideremos agora um condutor extenso entido entre dois eléctrodos equipotenciais,  $S_1$  e  $S_2$ , mantidos as potenciais (invariáveis no tempo)  $V_1$  e  $V_2$ , respectivamente, e limitada lateralmente por uma superfície  $C$  (ver figura).



Tomemos sobre  $S_1$  um elemento de área  $\delta S_1$  e o tubo filiforme das linhas de corrente que partem de  $\delta S_1$ . Assimilando este tubo de corrente a um condutor filiforme  $\overline{AB}$ , que denominemos em elementos  $ds$  (ver figura) podemos

escrever por (III-28) e (III-29):

$$(III-32) \quad \delta i = \frac{V_A - V_B}{\int_A^B \frac{ds}{\sigma^* \delta S}} ;$$

mas  $\delta i$ , corrente que passa em qualquer  $\delta S$ , sempre a mesma, é também a corrente que entra no condutor através da base do tubo de corrente considerado; portanto, o integral do 1º membro de (III-32), sobre a superfície  $\Sigma'$  de contacto do condutor com o eléctrodo  $S_1$ , dá  $i$ , corrente global que entra no condutor. Por outro lado, para integrar o 2º membro sobre a mesma superfície  $\Sigma'$  deve atender-se à relação existente entre  $\delta S$  e  $\delta \Sigma'$  (variável ao longo do filamento  $\overline{AB}$ ), operando a substituição

$$\int_A^B \frac{ds}{\sigma^* \delta S} = \int_A^B \frac{ds}{\sigma^* \frac{\delta S}{\delta \Sigma'} \delta \Sigma'} = \frac{1}{\delta \Sigma'} \int_A^B \frac{1}{\sigma^*} \frac{\delta \Sigma'}{\delta S} ds$$

Então, de (III-32) resulta:

$$i = \int_{\Sigma'} \frac{V_A - V_B}{\int_A^B \frac{1}{\sigma^*} \frac{\delta \Sigma'}{\delta S} ds} \delta \Sigma'$$

ou seja:

$$(III-33) \quad R i = V_A - V_B$$

com:

$$(III-34) \quad \frac{1}{R} = \int_A^B \frac{\delta \Sigma'}{\frac{1}{\sigma^*} \frac{\delta \Sigma'}{\delta S} ds}$$

ou :

$$(III-34') \quad \frac{1}{R} = \sigma^* \int_{\Sigma'} \frac{\delta \Sigma'}{\int_A^B \frac{\delta \Sigma'}{\delta s} ds}$$

no caso que nos ocupa (condutores homogêneos).

A equação (III-33) é a lei de Ohm sob forma integral para um condutor extenso contido entre dois electrodos; a sua analogia com a equação (III-28) leva-nos a atribuir à grandeza  $R$  definida por (III-34) o significado de resistência eléctrica de um tal condutor. Vê-se que  $R$  depende essencialmente da forma do condutor e de extensões, da forma, e da posição relativa dos electrodos que o confinam.

Passando à lei de Joule, e transversalmente (III-34) para o tubo de corrente  $\overline{AB}$  aqui considerado e tendo em conta (III-28), então a quantidade de calor  $\delta Q$  libertada por unidade de tempo no elemento  $\overline{AB}$  de base  $\delta \Sigma'$  é

$$\delta Q = \delta i (V_A - V_B) \quad ;$$

integrando sobre toda a superfície  $\Sigma'$ , vem:

$$(III-35) \quad Q = i (V_A - V_B)$$

que combinada em (III-33) dá:

$$(III-35') \quad Q = R i^2$$

É a lei de Joule sob a forma integral para um condutor extenso contido entre dois electrodos.

### III.9 - Corrente estacionária em condutores isótipos não-homogêneos

#### A. Extensão da lei de Ohm

A experiência mostra que nos condutores heterogêneos

(com heterogeneidade material ou devida a um gradiente de temperatura) pode observar-se corrente estacionária em correlação com a existência de um campo electromotor não instacional.

Isso leva-nos a admitir que o campo pode consistir, além de um termo  $\vec{E}^e$  de carácter electostático como ocorre no caso dos condutores homogêneos ( $\text{rot } \vec{E}^e = 0$ ), um novo termo  $\vec{E}^a$  — campo aplicado ou campo de heterogeneidade — que existe somente onde há heterogeneidades e que não é, em geral, instacional ( $\text{rot } \vec{E}^a \neq 0$ ).

Escreve-se em consequência:

$$(III-36) \quad \vec{E} = \vec{E}^e + \vec{E}^a = -\text{grad } V + \vec{E}^a$$

e, se nos limitarmos aos condutores isotrópicos, a lei de Ohm toma então a forma

$$(III-37) \quad \vec{J} = \sigma^* (-\text{grad } V + \vec{E}^a) = \sigma^* \vec{E}$$

que generaliza a equação (III-23) do parágrafo 8.A.

Note-se que a existência de heterogeneidades acarreta para a equação (III-37), não só o aparecimento de  $\vec{E}^a$ , mas, também, o facto de  $\sigma^*$  ser aí, agora, uma grandeza variável de ponto para ponto.

### B. Propriedades do campo

As propriedades do campo descritas no parágrafo 8.A. para os condutores homogêneos não subsistem, portanto, em geral. Tem-se:

$$(III-38) \quad \text{rot } (\vec{E} - \vec{E}^a) = 0$$

em vez de  $\text{rot } \vec{E} = 0$ , porque:

$$(III-39) \quad \text{rot } \vec{E} = \text{rot } \vec{E}^a \neq 0$$

Por outro lado, visto que a corrente é estacionária, continua a verificar-se:

$$(III-40) \quad \operatorname{div} \vec{J} = 0 \quad ;$$

mas isso implica agora

$$(III-41) \quad \operatorname{div} (\sigma^* \vec{E}) = 0$$

em vez de  $\operatorname{div} \vec{E} = 0$  (Cf. § III.8-A).

Emfim, não esqueçamos que a equação

$$(III-42) \quad \operatorname{div} \vec{D} = \rho$$

se conserva aqui, como uma propriedade fundamental de todo o Electromagnetismo, e implica (por ser  $\vec{D} = \epsilon \vec{E}$ ):

$$(III-43) \quad \operatorname{div} (\epsilon \vec{E}) = \rho$$

As equações (III-38), (III-41) e (III-43) resumem as novas propriedades do campo.

O carácter não-irrotacional do campo [eq.(III-39)] faz da sua circulação uma função de linha (mas dependente apenas do ponto de partida e do ponto de chegada, mas essencialmente dependente do percurso). Assume particular importância a sua circulação ao longo de uma curva fechada  $[C]$ , que se designa genericamente por força electromotriz,  $\mathcal{E}$ , ao longo de  $[C]$ :

$$(III-44) \quad \mathcal{E} = \oint_{[C]} \vec{E} \cdot d\vec{s} \quad \text{(f.e.m.)}$$

Mas, tendo em conta (III-35), a definição aqui feita de  $\mathcal{E}$  conduz imediatamente a:

$$(III-45) \quad \mathcal{E} = \oint_{[C]} \vec{E}^a \cdot d\vec{s} \quad ;$$

ou seja: a força electromotriz ao longo da curva fechada  $[C]$  é a circulação (fechada) do campo  $\vec{E}^a$  ao longo de  $[C]$ .

C. Electrizações de um condutor heterogéneo pela corrente estacionária

mas ↓



Enquanto nos condutores homogêneos percorridos por corrente estacionária a densidade volumica total das cargas eléctricas é nula ( $\rho = 0$ ) (Cf § III. 8-A), nos condutores heterogêneos, ao contrário, a corrente estacionária produz em geral uma electrizaçãõ de que vamos determinar a densidade volumica.

Basta tomar o jogo das seguintes quatro equações:  
 $\rho = \text{div } \vec{D} = \text{div}(\epsilon \vec{E})$ ;  
 $\text{div } \vec{D} = \rho$  ;  $\text{div } \vec{J} = 0$  ;  $\vec{D} = \epsilon \vec{E}$  ; e  $\vec{J} = \sigma^* \vec{E}$  ;  
 e eliminar entre elas as grandezas  $\vec{D}$  e  $\vec{E}$  para deduzir a seguinte expressãõ de  $\rho$  :

$$(III-46) \quad \rho = \vec{J} \cdot \text{grad } \mathcal{O}$$

sendo  $\mathcal{O} = \epsilon / \sigma^*$ , o tempo de relaxaçãõ, de que vimos já o significado físico, a propósito da lei da difusãõ das cargas eléctricas nos condutores homogêneos e isotrópos. No caso presente,  $\mathcal{O}$  varia em geral de ponto para ponto e existe portanto um grad  $\mathcal{O}$  não-nulo.

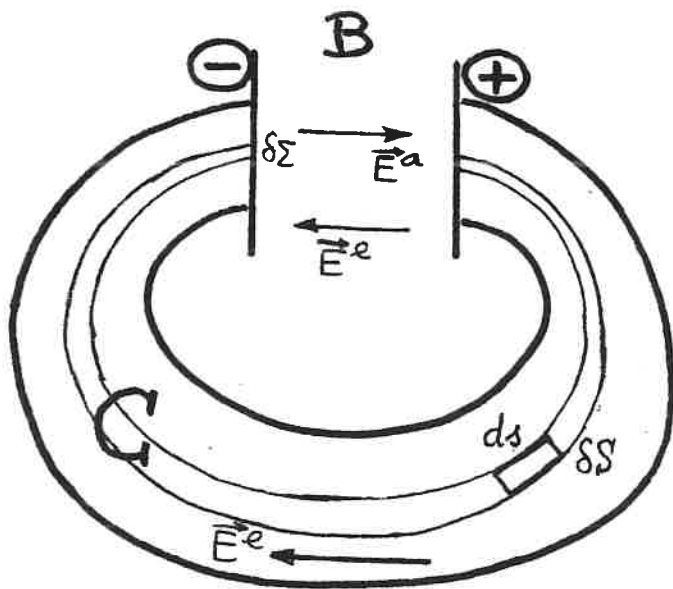
A eq. (III-46) mostra que se tem em geral  $\rho \neq 0$ , mas que, sob certas condições de heterogeneidade, poderá ocorrer  $\rho = 0$ . Vê-se ainda que a electrizaçãõ se acha directamente relacionada com a corrente  $\vec{J}$  que a gera. Pode também concluir-se, a partir da eq. (III-46), que é globalmente nula a carga eléctrica correspondente à referida electrizaçãõ (a qual se estende a todo o volume do condutor). Tem-se com efeito:

$$(III-47) \quad \int_V \rho \, dv = \int_V \vec{J} \cdot \text{grad } \mathcal{O} \, dv = 0$$

em que  $V$  é o volume global do condutor. A eq. (III-47) resulta de ser  $\vec{J}$  um vector solenoidal ( $\text{div } \vec{J} = 0$ ) e  $\text{grad } \mathcal{O}$  um vector irrotacional, cumprindo-se ainda na superfície limítrofe do condutor as seguintes condições:  $\vec{J} \cdot \vec{n} = 0$  e  $\mathcal{O}$  finito ( $\mathcal{O} = \epsilon / \sigma^*$ ).

## D. Circuito eléctrico. Fórmulas de Ohm.

Consideremos um circuito eléctrico em que se acham incluídos condutores heterogéneos apresentando no seu interior campos aplicados. Suponhamos que a localização destes campos se confina a uma dada região  $B$  — bateria — limitada por dois eléctrodos — polos, positivo e negativo, da bateria —. Designemos por  $C$  o condutor (homogéneo) que contacta pelo exterior os polos da bateria (V. Figura).



(III-48)

Estudemos em primeiro lugar a situação em que o condutor exterior  $C$  não existe, não havendo portanto corrente,  $\vec{J} = 0$ . É a situação de circuito aberto. Tem-se então um equilíbrio electrostático caracterizado no interior da bateria por

$$\vec{E} = -\text{grad} V + \vec{E}^a = 0;$$

e em todo o ponto exterior está definido um campo electrostático.

Nestas condições, se tomarmos (III-45) ao longo de uma curva  $[c]$  fechada que passe pela bateria e se utilizarmos (III-48), resulta:

$$(III-49) \quad \mathcal{E} = \oint_{[c]} \vec{E}^a \cdot d\vec{s} = \int_{-}^{+} \vec{E}^a \cdot d\vec{s} = \int_{-}^{+} \text{grad} V \cdot d\vec{s} = V_{+} - V_{-}$$

sendo este integral independente dos pontos tomados sobre os polos da bateria, que são dois eléctrodos equipotenciais, e, além disso, independente do percurso entre esses pontos. Assim, em circuito aberto, a f.e.m. aplicada iguala a diferença de

potencial entre os polos da bateria.

Estudemos em segundo lugar a situação em que se fecha efectivamente o circuito através do condutor  $G$ ; existe uma corrente regida pela lei de Ohm sob a forma (III-37). ( $E'$  a situação de circuito fechado).

Calculemos a intensidade da corrente que entra, por exemplo, através do polo negativo. Para isso, dividamos este eléctrodo, de área  $\Sigma_1$ , em elementos  $\delta\Sigma_1$  e tomemos o filamento de corrente que nasce em  $\delta\Sigma_1$ , de intensidade  $\delta i$ . Resulta:

$$(III-50) \quad i = \int_{\Sigma_1} \delta i = \int_{\Sigma_1} \frac{\delta i}{\delta\Sigma_1} \delta\Sigma_1$$

Seja  $\delta S$  uma secção recta genérica do filamento considerado e  $\vec{j}$  a densidade de corrente em  $\delta S$ ; pode escrever-se:

no filamento de corrente  $\vec{j}$  e  $\delta S$  mesmo direcção

$$\delta i = |\vec{j}| \delta S = \sigma^* |-\text{grad } V + \vec{E}^a| \delta S = \frac{\sigma^* \delta S}{ds} (-\text{grad } V + \vec{E}^a) \cdot d\vec{s}$$

ou seja:

$$(III-51) \quad \delta i \frac{ds}{\sigma^* \delta S} = (-\text{grad } V + \vec{E}^a) \cdot d\vec{s}$$

Integramos agora a equação (III-51) ao longo de um filamento:

- 1º) fechado no circuito global;
- 2º) aberto, no interior da bateria, vindo do polo (-) ao polo (+);
- 3º) aberto, através do condutor  $G$ , vindo do polo (+) ao polo (-).

Para o 1º caso vem:

$$\delta i \oint \frac{ds}{\sigma^* \delta S} = \oint (-\text{grad } V + \vec{E}^a) \cdot d\vec{s} = \int_{-}^{+} \vec{E}^a \cdot d\vec{s} = \mathcal{E}$$

ou seja:

O mesmo  $\oint$  para todo o tubo de corrente porque se admite que  $\vec{E}^a$  é independente de  $\vec{j}$ , e  $\oint \vec{j} \cdot d\vec{s} = 0$  pois não há corrente que saia nem que entre.

$$\frac{\delta i}{\delta \mathcal{E}} = \frac{\mathcal{E}}{\oint \frac{1}{\sigma^*} \frac{\delta \mathcal{E}'}{\delta S} ds}$$

e, entrando com esta expressão em (III-50), resulta, se se tem em conta a definição (III-34) do parágrafo 8.B.2):

$$(III-52) \quad iR = \mathcal{E}$$

sendo  $R$  a resistência total do circuito. Este resultado constitui a 1ª fórmula de Ohm. 15/1190

No 2º caso, um:

$$\frac{1}{R} = \sigma^* \int_A^B \frac{\delta \mathcal{E}'}{\delta S} ds \quad \delta i \int \frac{ds}{\sigma^* \delta S} = \mathcal{E} - (V_+ - V_-) \quad i = \int \frac{\delta i}{\delta \mathcal{E}} \delta \mathcal{E}'$$

e o mesmo mecanismo utilizado no 1º caso conduz a:

$$(III-53) \quad iR_B = \mathcal{E} - (V_+ - V_-) \Rightarrow V_+ - V_- = \mathcal{E} - iR_B$$

em que  $R_B$  é a resistência da bateria. Note-se que se tem aqui, em circuito fechado, uma diferença de potencial  $V_+ - V_-$ , que, pelo confronto de (III-53) com (III-49), é menor que a diferença de potencial em circuito aberto,  $= \mathcal{E}$ , como a experiência ensina.

A equação (III-53) é a 2ª fórmula de Ohm.

Para o 3º caso temos:

$$\delta i \int_+^- \frac{ds}{\sigma^* \delta S} = V_+ - V_-$$

( $\vec{E}^a = 0$ , no interior do condutor  $C$ ) e analogamente aos dois primeiros casos:

$$(III-54) \quad iR_C = V_+ - V_-$$

em que  $R_c$  é a resistência do condutor  $G$ .

A equação (III-54) constitui a 3.ª fórmula de Ohm. Ela coincide, como era de esperar, com a equação (III-33), deduzida no estudo dos condutores homogêneos.

Se somarmos (III-54) com (III-53) obtemos (III-52), o que significa que as fórmulas de Ohm (referindo o circuito fechado em corrente estacionária) se reduzem efectivamente a duas independentes.

15/12/88

### E. Calor de Joule e actividade dos campos aplicados

ma  
Ao movimento das cargas num condutor heterogêneo está associado um trabalho desenvolvido pelos campos aplicados. Se tomarmos no interior do condutor um elemento  $ds$  de um tubo filiforme de linhas de força de  $\vec{J}$ , de secção recta  $\delta S$  e percorrido pela corrente  $\delta i$ , o trabalho realizado, no volume  $dV = \delta S ds$ , por unidade de tempo, vale:

carregamento  
q através  
 $\delta S$  / unidade de tempo

$$\delta i \vec{E}^a \cdot d\vec{s} = |\vec{J}| \delta S \vec{E}^a \cdot d\vec{s} = \vec{J} \cdot \vec{E}^a dV.$$

Se estendermos este cálculo a todo o circuito onde flui uma corrente  $\vec{J}$  mantida pelos campos  $\vec{E}^a$ , obtemos:

$$(III-55) \quad \mathcal{A} = \int_V \vec{J} \cdot \vec{E}^a dV$$

sendo  $V$  o volume global do circuito.  $\mathcal{A}$  é a actividade dos campos aplicados, no circuito.

Consideremos, agora o calor de Joule libertado na mesma unidade de tempo:

$$(III-56) \quad Q = \int_V \frac{\vec{J}^2}{\sigma^*} dV = \int_V \vec{J} \cdot \vec{E} dV.$$

Compararemos as duas energias (III-55) e (III-56).



A sua diferença exprime-se por:

$$(III-57) \quad Q - Q' = \int_V \vec{J} \cdot (\vec{E} - \vec{E}^a) dv$$

Seu a corrente estacionária, tem-se  $Q - Q' = 0$ .  
Com efeito, o integral do 2º membro de (III-57) anula-se porque a função integranda é o produto interno de um vector solenoidal ( $\text{div } \vec{J} = 0$ ) por um vector irrotacional, equação (III-38), sendo, sobre a fronteira do volume  $V$ ,  $\vec{J} \cdot \vec{n} = 0$  e  $V$  função finita. A demonstração fez-se como segue:

$$\begin{aligned} \int_V \vec{J} \cdot (\vec{E} - \vec{E}^a) dv &= \int_V \vec{J} \cdot (-\text{grad } V) dv = \left( \int_V \text{div}(-V\vec{J}) dv - \int_V (-V) \text{div } \vec{J} dv \right) \\ &= \int_V \underbrace{\text{div } \vec{J}}_{=0} V dv - \int_S V \underbrace{\vec{J} \cdot \vec{n}}_{=0 \text{ na superfície}} dS = 0 \end{aligned}$$

Em conclusão, no regime estacionário, a actividade dos campos aplicados empurra, exactamente, a quantidade de calor libertado na unidade de tempo por efeito Joule no circuito global.

Esta afirmação traduz o principio de conservação de energia em regime estacionário.

### III.10 — Redes de condutores filiformes em regime estacionário

Um sistema de fios condutores ligados entre si pelas suas extremidades constitui uma rede de condutores filiformes. Os pontos de confluência de três ou mais fios designam-se por vértices ou nós; todo o fio ligando directamente dois vértices é um ramo; um grupo de ramos constituindo um circuito fechado designa-se por malha.

Suponhamos que há  $n$  ramos e que cada ramo  $\alpha$

tem uma resistência  $r_\alpha$ ; designemos por  $\mathcal{E}_\alpha$  a f.e.m. (eventualmente nula) residida no ramo  $\alpha$ . A experiência mostra que, se todos os  $\mathcal{E}_\alpha$  são constantes, a rede é percorrida por correntes estacionárias bem determinados ( $i_\alpha$  no ramo  $\alpha$ , com  $\alpha = 1, 2, \dots, n$ ).

O problema de uma rede nestas condições consiste, precisamente, em encontrar as relações bem definidas que devem existir entre os  $\mathcal{E}_\alpha$ , os  $r_\alpha$  e os  $i_\alpha$ . Para resolvê-lo, utilizamos as leis de Kirchhoff, que vamos agora estabelecer.

### A. Leis de Kirchhoff

1) Seja  $A$  um vértice da rede; nele encursem vários ramos. Consideremos uma superfície  $S$ , fechada em torno de  $A$  e cortando os diversos ramos em secções  $\Sigma'_1, \dots, \Sigma'_\beta, \dots$  (ver figura I). A corrente  $i_\beta$ , que sai do vértice  $A$  pelo ramo  $\beta$  (através de  $\Sigma'_\beta$ ) é dada por:

$$(III-58) \quad i_\beta = \int_{\Sigma'_\beta} \vec{J}_\beta \cdot \vec{n}_\beta \, d\Sigma'_\beta$$

sendo ser negativa ou positiva consoante o sentido real da corrente é para dentro ou para fora da superfície fechada  $S$ .

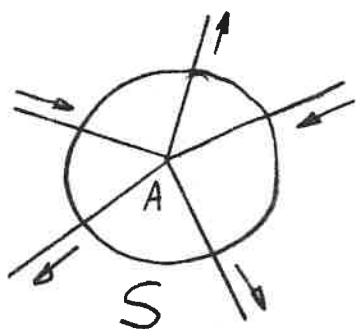


figura I-a

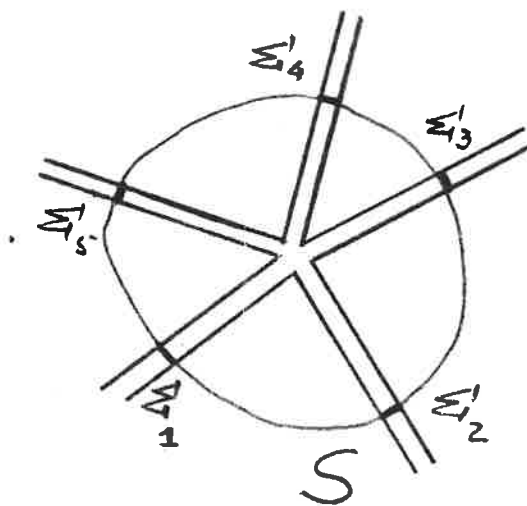


figura I-b

Por ser  $\text{div } \vec{J} = 0$  (regime estacionário) temos:

$$\int_S \vec{J} \cdot \vec{n} \, dS = 0$$

e como só as seções  $\Sigma_\beta$  dos condutores contribuem para este fluxo, vem:

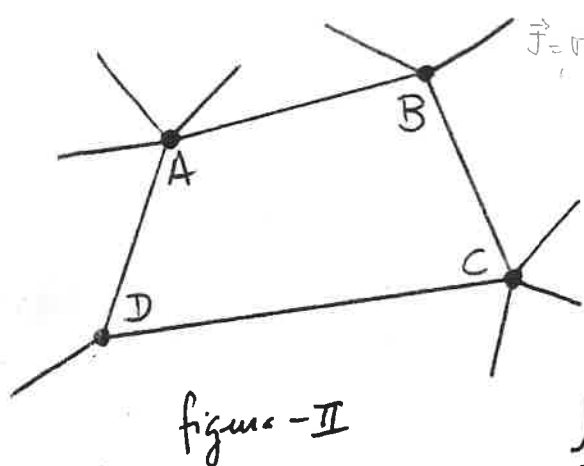
$$(III-59) \quad \sum_\beta \int_{\Sigma_\beta} \vec{J}_\beta \cdot \vec{n}_\beta \, d\Sigma_\beta = 0$$

De (III-58) e (III-59) resulta:

$$(III-60) \quad \sum_\beta i_\beta = 0$$

É a primeira lei de Kirchhoff: a soma algébrica das correntes de todos os ramos, que concorrem num vértice é nula.

2) Seja agora a malha  $[ABCD]$  uma malha de rede, como a esquematizada na figura II. Utilizemos a lei de Ohm, equação (III-37),



$\vec{J} = \sigma^* (-\text{grad } V + \vec{E}^a)$  para calcular a circulação do campo ao longo de cada um dos ramos. Pode escrever-se, por exemplo para o ramo AB:

$$\int_A^B \vec{E}^a \cdot d\vec{s} = \int_A^B \frac{1}{\sigma^*} \vec{J} \cdot d\vec{s} = \int_A^B \text{grad } V \cdot d\vec{s}$$

e é fácil verificar que:

$$a) \quad \int_A^B \vec{E}^a \cdot d\vec{s} = \mathcal{E}_{AB} \quad (\text{definição de f. e. m.})$$

$$b) \int_A^B \frac{1}{r^*} \vec{j} \cdot d\vec{s} = i_{AB} \int_A^B \frac{ds}{r^* s} = i_{AB} r_{AB}$$

$\vec{j} ds = i_{AB} \frac{ds}{s}$

(cf. estudo dos condutores filiformes, 8B-1)

$$c) \int_A^B \text{grad } V \cdot d\vec{s} = V_B - V_A$$

Donde resulta que, para o ramo  $\overline{AB}$ :

$$(III-61) \quad \mathcal{E}_{AB} - i_{AB} r_{AB} = V_B - V_A$$

e, analogamente para os outros ramos.

Orá, se somarmos as relações (III-61) obtidas para todos os ramos da malha considerada, tomando sempre o mesmo sentido de circulação, vem

$$(III-62) \quad \sum_{\gamma} (\mathcal{E}_{\gamma} - r_{\gamma} i_{\gamma}) = 0$$

visto que os 2<sup>os</sup> membros se destroem mutuamente.

É a segunda lei de Kirchhoff: ao longo de uma malha, para um dado sentido de circulação, a soma algébrica dos f.e.m.s, inseridos nos diversos ramos, é igual à soma algébrica dos produtos das resistências dos ramos pelas respectivas intensidades de corrente.

### B. Intensidades independentes e malhas fundamentais

Imposto agora discutir como se devem apresentar as equações resultantes de aplicação das duas leis de Kirchhoff aos diferentes nós e às diferentes malhas, respectivamente.

Continuemos a supor que há  $n$  ramos e seja  $k$  o número de nós.

A 1<sup>a</sup> lei de Kirchhoff fornece  $k$  equações do tipo (III-60), — uma para cada nó — mas essas equações não são todas

independentes. Com efeito, como cada ramo liga dois nós, cada intensidade de corrente acha-se representada, no conjunto das  $\underline{k}$  equações, duas e só duas vezes, e com sinais contrários, pois que se a corrente encorre num vértice diverge do outro. Assim, a soma das  $\underline{k}$  equações, membro a membro, origina a identidade  $0=0$ . Segue-se que o nº de equações independentes que é possível escrever, com base na 1ª lei de Kirchhoff é  $\underline{k-1}$ .

Então, das  $\underline{n}$  intensidades das correntes que percorrem os diversos ramos, por estarem assim ligadas por  $\underline{k-1}$  equações independentes, resultam  $\underline{n-k+1}$  intensidades independentes.

Por outro lado, haverá tantas equações do tipo (III-62) quantas as malhas que pudermos considerar na rede, mas, estas equações estão longe de ser todas independentes. É fácil verificar, por exemplo, que no trecho de rede representado na figura III, a 2ª lei de Kirchhoff se traduz para

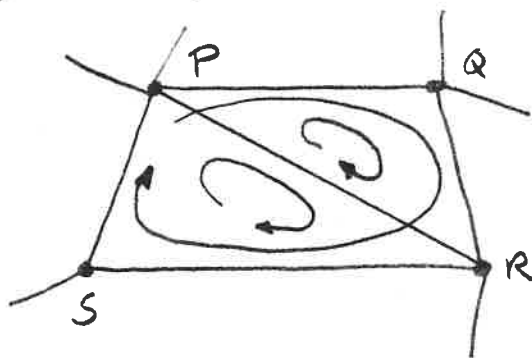


figura III

a malha  $[PQRS]$  recebe equação que é a soma, membro a membro, das equações giradas, pela mesma lei, para as duas malhas  $[PQR]$  e  $[PRS]$ : destas três malhas só duas são independentes.

Para as redes mais simples (fonte de Wheatstone, fonte dupla de Kelvin, por exemplo), é fácil encontrar, na prática, as malhas que fornecem as equações independentes — as malhas fundamentais. Para o caso geral, porém, a determinação, por via teórica, do número de malhas fundamentais, a partir do número de ramos e do número de nós da rede, é problema mais delicado, de carácter topológico, que

se pode assimilar ao problema da relação entre o número de faces, o número de vértices e o número de arestas de um poliedro. Demonstra-se que o número  $V$  de malhas fundamentais de uma rede com  $n$  ramos e  $K$  vértices é dado por:

$$(III-63) \quad V = n - K + 1$$

Pode assim concluir-se que, quando esgotada a aplicação das leis de Kirchhoff a uma rede, ficaram a dispor de  $n - K + 1$  equações independentes em  $n - K + 1$  intensidades independentes. O sistema de equações lineares, desta maneira constituído, é determinado: admite uma e uma só solução.

### G. Princípio de superposição de estados estacionários

#### Teorema de Thévenin

Porque as equações resultantes das leis de Kirchhoff são lineares em relação às intensidades e às f.e.m.s, nós podemos afirmar que toda a superposição de estados estacionários de uma rede é ainda um estado estacionário na mesma rede.

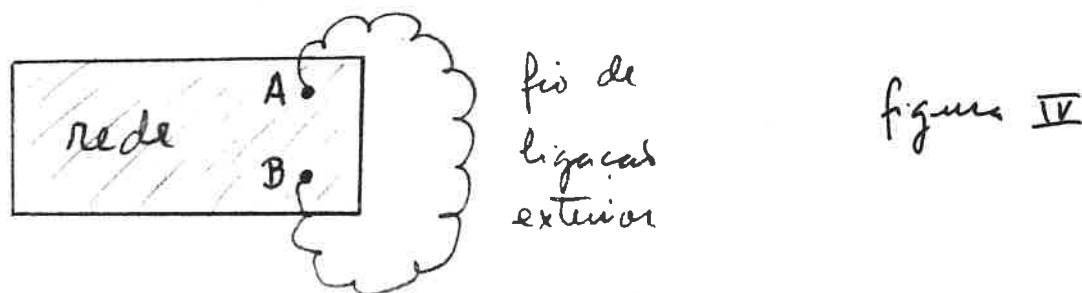
A superposição de estados estacionários acarreta que se tomarmos, para cada ramo da rede, as intensidades e as f.e.m.s dos estados superpostos; em todo o ponto da rede o potencial resultante da superposição é também a soma dos potenciais dos estados superpostos. Ressalva-se todavia que, quando da introdução ou da supressão de uma f.e.m., se torna imprescindível repôr, no valor que possuía antes, a resistência do ramo em causa.

Como uma consequência deste princípio de superposição, podemos afirmar, em particular, que, numa rede em que estão instaladas certas f.e.m.s, a intensidade em cada ramo é igual à soma das intensidades obtidas quando em f.e.m.s se inserem individualmente.

Passemos ao importante teorema de Thévenin, que

se fundamenta ainda no princípio de sobreposição dos estados estacionários numa rede.

Sejam A e B dois pontos quaisquer de uma rede arbitrariamente complexa, onde os potenciais assumem actualmente os valores  $V_A$  e  $V_B$  respectivamente. Admitamos como conhecidos a resistência  $R$  da rede  $\otimes$  medida entre os dois pontos A e B tomados como eléctrodos. Suponhamos agora que fizermos uma ligação, exterior à rede, entre os pontos A e B por um fio de resistência  $r$  (ver figura IV)



Nestas condições, o teorema de Thévenin afirma que a corrente  $i$  que percorre o fio vem dada por:

$$(III-64) \quad i = \frac{V_A - V_B}{R + r}$$

Como uma consequência, a diferença de potencial entre A e B, depois da ligação pelo fio, será:

$$V'_A - V'_B = ir$$

Para demonstrar este teorema, vamos considerar dois estados estacionários, de cuja sobreposição resulta o estado que se obtém após a ligação dos pontos A e B pelo fio.

Como primeiro estado estacionário, I, consideremos o que se estabelece quando os pontos A e B são ligados



Ver, no fim do parágrafo, a noção de resistência equivalente de ... entre dois pontos tomados como eléctrodos



pelo fio mas ao mesmo tempo inserimos no próprio fio uma f.e.m.

$\mathcal{E}_I = -(V_A - V_B)$  que empurra a diferença de potencial preexistente entre os pontos A e B. Nestas condições, a corrente no fio é nula e tudo se passa como se ele não existisse. O estado I é o estado primitivo da rede.

Como segundo estado estacionário, II, consideramos o que se estabelece quando suprimimos na rede todas as f.e.m.s e ao mesmo tempo criamos no fio uma f.e.m.  $\mathcal{E}_{II} = +(V_A - V_B)$ .

É claro que nestas condições a intensidade de corrente no fio será (1ª fórmula de Ohm em circuito fechado, parágrafo 9D):

$$i_{II} = \frac{\mathcal{E}_{II}}{R+r}.$$

É evidente que de tal forma os dois estados estacionários resulte a situação referida: as f.e.m.s na rede são as do estado I (no estado II não há f.e.m.s na rede) e a f.e.m. no fio é agora nula, pois  $\mathcal{E}_I + \mathcal{E}_{II} = 0$ .

Como no fio é  $i_I = 0$  e  $i_{II} = \frac{\mathcal{E}_{II}}{R+r} = \frac{V_A - V_B}{R+r}$ , resulta:

$$i = i_I + i_{II} = \frac{V_A - V_B}{R+r},$$

como queríamos demonstrar.

Notemos que qualquer rede pode, assim, ser considerada como uma bateria de polos em 2 pontos arbitrários A e B, sendo a f.e.m. desta bateria igual à diferença de potencial entre esses pontos,  $V_A - V_B$ , e a sua resistência interna a resistência equivalente da rede entre os mesmos pontos.

Relação, já atrás referida,

$$(III-65) \quad V'_A - V'_B = i r$$

daí a diferença de potencial entre os polos da mesma bateria em circuito fechado.

Resistência equivalente entre dois pontos de uma rede, tomados como eléctrodos.

Consideremos uma rede de condutores, esquematicamente representada na figura V-1 pelo rectângulo tracejado, e sejam A e B dois dos seus pontos que tomaremos como eléctrodos. Suponhamos que estão suprimidas todas as f.e.m.

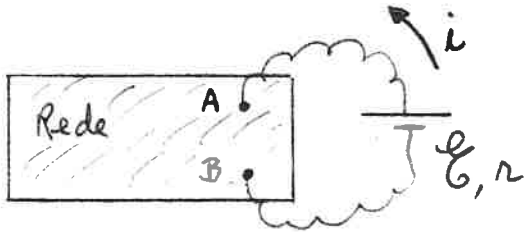


figura V-1

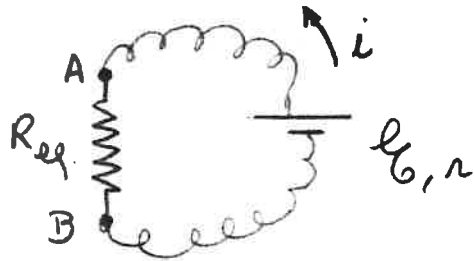


figura V-2

da rede nos seus diferentes ramos (encontrando-se, no entanto, aposta em cada ramo a sua resistência própria).

Ligemos os dois pontos A e B aos polos de uma bateria exterior à rede de f. e. m.  $\mathcal{E}$ ; seja  $r$  a resistência interna da bateria. Suponhamos que nestas condições a bateria debita uma intensidade  $i$ .

Imaginemos, agora, que, em substituição da rede, consideráramos um condutor único cujos terminais A e B ligáramos aos polos da mesma bateria (figura V-2)

Resistência equivalente da rede entre os seus dois pontos A e B, tomados como eléctrodos,  $R_{eq}$ , é a resistência que deveria ter esse condutor único para que, neste segundo circuito, a bateria debitasse a mesma corrente  $i$  que no primeiro.

Tem-se, por aplicação de fórmula de Ohm ao segundo circuito:

$$i = \frac{\mathcal{E}}{R_{eq} + r}$$

donde resulta que o valor de  $R_{eq}$  se pode achar a partir dos valores de  $\underline{E}$  e  $\underline{r}$ , supostos dados, e do valor de  $\underline{i}$  obtido mediante a realização do primeiro circuito (fig. V-1).

Pode verificar-se, com base na teoria das redes de condutores atrás exposta, que a definição acima, de  $R_{eq}$  em rede, para cada par de pontos A e B, tomadas na rede, a uma grandeza bem determinada, independente de  $\underline{E}$  e  $\underline{r}$  (que são arbitrários) e, portanto, função exclusiva das resistências dos ramos da rede.